

1. Profiltheorie

- In der Profiltheorie wird die Strömung um einen Tragflügel unendlicher Spannweite untersucht.
- Für die Aeroelastik genügt die Kenntnis des Auftriebs.
- Für die meisten Anwendungen ist die Theorie dünner Profile ausreichend, die auf lineare Gleichungen führt.

1. Profiltheorie

1.1 Aufgabenstellung

1.2 Linearisierung

1.3 Skelett-Theorie

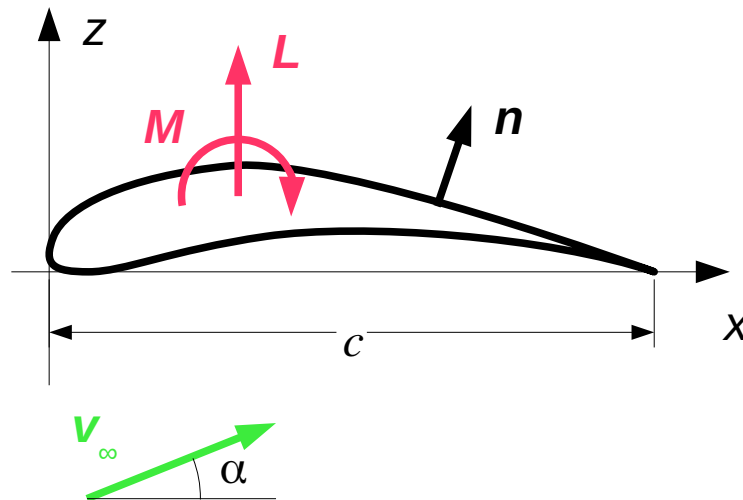
1.4 Methode der diskreten Wirbel

1.1 Aufgabenstellung

- Gegeben:

- Geometrie des Profils:

- oben: $z_p(x) = z_o(x)$
- unten: $z_p(x) = z_u(x)$



- Anströmgeschwindigkeit:

$$\mathbf{v}_\infty = v_\infty (\cos(\alpha) \mathbf{e}_x + \sin(\alpha) \mathbf{e}_z)$$

- Gesucht:

- Potential der Strömung
- Strömungsgeschwindigkeit
- Druckverteilung
- Auftrieb und Moment

1.1 Aufgabenstellung

- Gleichungen für das Potential:

- Differenzialgleichung:
$$\frac{\partial^2 \Phi}{\partial x^2} + \frac{\partial^2 \Phi}{\partial z^2} = 0$$

- Randbedingungen:

- Auf dem Profil:
$$\mathbf{n} \cdot \mathbf{v} = \mathbf{n} \cdot \nabla \Phi = 0$$

- Im Unendlichen:
$$\mathbf{v} = \nabla \Phi = \mathbf{v}_\infty \quad \text{für } x \rightarrow -\infty$$

- Kutta-Bedingung:

- An der Hinterkante ist die Strömungsgeschwindigkeit endlich und stetig.

1.1 Aufgabenstellung

- Störpotential und Geschwindigkeitsstörung:
 - Die Geschwindigkeit lässt sich in die Anströmgeschwindigkeit und die Geschwindigkeitsstörung aufspalten:

$$\boldsymbol{v} = \boldsymbol{v}_{\infty} + \boldsymbol{w}$$

- Entsprechend setzt sich das Potential zusammen aus dem Potential der Anströmung und dem Störpotential:

$$\Phi = \Phi_{\infty} + \phi$$

- Für das Potential der Anströmung gilt:

$$\Phi_{\infty} = \boldsymbol{v}_{\infty} \cdot \boldsymbol{x} = v_{\infty} (\cos(\alpha) x + \sin(\alpha) z)$$

1.1 Aufgabenstellung

- Gleichungen für das Störpotential:

- Differenzialgleichung:
$$\frac{\partial^2 \phi}{\partial x^2} + \frac{\partial^2 \phi}{\partial z^2} = 0$$

- Randbedingungen:

- Auf dem Profil:
$$\mathbf{n} \cdot (\mathbf{v}_\infty + \nabla \phi) = 0 \rightarrow \mathbf{n} \cdot \nabla \phi = -\mathbf{n} \cdot \mathbf{v}_\infty$$

- Im Unendlichen:
$$\mathbf{w} = \nabla \phi = \mathbf{0} \quad \text{für } x \rightarrow -\infty$$

- Kutta-Bedingung:

- An der Hinterkante ist die Geschwindigkeitsstörung endlich und stetig.

1.1 Aufgabenstellung

- Druckverteilung:

- Der Druck folgt aus der Bernoulli-Gleichung:

$$p = p_{\infty} + \frac{1}{2} \rho v_{\infty}^2 \left(1 - \frac{v^2}{v_{\infty}^2} \right)$$

- Mit

$$v^2 = (\mathbf{v}_{\infty} + \mathbf{w}) \cdot (\mathbf{v}_{\infty} + \mathbf{w}) = v_{\infty}^2 + 2 \mathbf{v}_{\infty} \cdot \mathbf{w} + w^2$$

folgt:

$$p = p_{\infty} - \frac{1}{2} \rho v_{\infty}^2 \left(2 \frac{\mathbf{v}_{\infty} \cdot \mathbf{w}}{v_{\infty}^2} + \frac{w^2}{v_{\infty}^2} \right)$$

1.2 Linearisierung

- Annahmen:
 - Anstellwinkel:
 - Der Anstellwinkel ist so klein, dass gilt: $\cos(\alpha) \approx 1$, $\sin(\alpha) \approx \alpha$
 - Diese Näherung gilt für $\alpha < 10^\circ$. Das ist auch die Grenze für die Gültigkeit der Potentialtheorie.
 - Geschwindigkeitsstörung:
 - Die Geschwindigkeitsstörung ist klein im Vergleich zur Anströmgeschwindigkeit: $w/v_\infty \ll 1$
 - Diese Annahme ist in den beiden Staupunkten und im Bereich der Profilnase verletzt. Dort hat die Geschwindigkeitsstörung die gleiche Größenordnung wie die Anströmgeschwindigkeit.

1.2 Linearisierung

- Geometrie:

- Die Profilkordinate z_p sowie die Profilsteigung dz_p/dx sind klein: $z_p/c \ll 1$, $dz_p/dx \ll 1$
- Die Annahme für die Profilsteigung ist im Bereich der Profilhaut nicht erfüllt.

• Anströmgeschwindigkeit:

- Für kleine Winkel hängt die Anströmgeschwindigkeit linear vom Anstellwinkel ab:

$$\mathbf{v}_\infty = v_\infty (\mathbf{e}_x + \alpha \mathbf{e}_z)$$

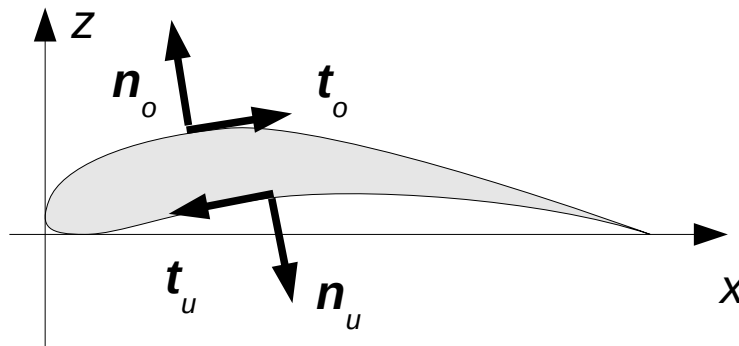
1.2 Linearisierung

- Randbedingungen:

- Tangentenvektor:

$$\mathbf{t}_o = \mathbf{e}_x + \frac{dz_o}{dx} \mathbf{e}_z$$

$$\mathbf{t}_u = - \left(\mathbf{e}_x + \frac{dz_u}{dx} \mathbf{e}_z \right)$$



- Nach außen zeigender Normalenvektor:

$$\mathbf{n}_o = - \frac{dz_o}{dx} \mathbf{e}_x + \mathbf{e}_z$$

$$\mathbf{n}_u = \frac{dz_u}{dx} \mathbf{e}_x - \mathbf{e}_z$$

- Randbedingung auf der Oberseite:

$$\mathbf{n}_o \cdot \mathbf{w} = - \mathbf{n}_o \cdot \mathbf{v}_\infty$$



$$- \frac{dz_o}{dx} w_x + w_z = - v_\infty \left(- \frac{dz_o}{dx} + \alpha \right)$$

1.2 Linearisierung

- Randbedingung auf der Unterseite:

$$\mathbf{n}_u \cdot \mathbf{w} = -\mathbf{n}_u \cdot \mathbf{v}_\infty \rightarrow \frac{dz_u}{dx} w_x - w_z = -v_\infty \left(\frac{dz_u}{dx} - \alpha \right)$$

- Der erste Term auf der linken Seite beider Gleichungen ist ein Produkt aus zwei kleinen Größen und wird daher vernachlässigt.
- Damit ergeben sich die linearisierten Randbedingungen

$$w_z(x, z_p(x)) = v_\infty \left(\frac{dz_p}{dx} - \alpha \right), \quad p = o, u, \quad 0 \leq x \leq c,$$

die für Punkte auf dem Profil erfüllt sein müssen.

1.2 Linearisierung

- Da z_p als klein vorausgesetzt wird, können die Randbedingungen auf die Profilversehne übertragen werden:

$$w_{oz}(x) = \lim_{z_p \downarrow 0} w_z(x, z_p) = v_\infty \left(\frac{dz_o}{dx} - \alpha \right), \quad 0 \leq x \leq c$$

$$w_{uz}(x) = \lim_{z_p \uparrow 0} w_z(x, z_p) = v_\infty \left(\frac{dz_u}{dx} - \alpha \right), \quad 0 \leq x \leq c$$

- Die Randbedingung im Unendlichen sowie die Kutta-Bedingung gelten unverändert.

1.2 Linearisierung

- Bernoulli-Gleichung:
 - Die Bernoulli-Gleichung lautet:

$$p = p_\infty - \frac{1}{2} \rho v_\infty^2 \left(2 \frac{w_x}{v_\infty} + 2 \frac{w_z}{v_\infty} \alpha + \frac{w^2}{v_\infty^2} \right)$$

- Die Vernachlässigung von Produkten kleiner Größen ergibt:

$$p \approx p_\infty - \frac{1}{2} \rho v_\infty^2 \cdot 2 \frac{w_x}{v_\infty} = p_\infty - 2 \frac{w_x}{v_\infty} q_\infty$$

- Für den *Druckbeiwert* folgt:

$$c_p = \frac{p - p_\infty}{q_\infty} = -2 \frac{w_x}{v_\infty}$$

1.2 Linearisierung

- Superposition:
 - Die Linearisierung führt auf das folgende lineare mathematische Problem zur Bestimmung des Störpotentials:

$$\frac{\partial^2 \phi}{\partial x^2} + \frac{\partial^2 \phi}{\partial z^2} = 0, \quad \mathbf{w} = \nabla \phi$$

$$w_{pz}(x) = v_\infty \left(\frac{dz_p}{dx} - \alpha \right), \quad p = o, u, \quad 0 \leq x \leq c$$

$$\nabla \phi \rightarrow 0 \quad \text{für} \quad x \rightarrow -\infty$$

$\nabla \phi$ ist an der Hinterkante stetig und endlich.

1.2 Linearisierung

- Für die Profilgeometrie gilt:

$$z_o = \frac{1}{2}(z_o + z_u) + \frac{1}{2}(z_o - z_u)$$

$$z_u = \frac{1}{2}(z_o + z_u) - \frac{1}{2}(z_o - z_u)$$

- Der erste Term beschreibt die *Skelettlinie*:

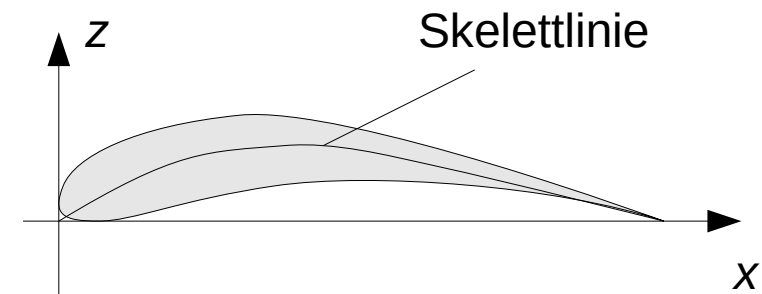
$$z_s = \frac{1}{2}(z_o + z_u)$$

- Der zweite Term beschreibt die Profildicke:

$$z_D = z_o - z_u$$

- Damit gilt:

$$z_o = z_s + \frac{z_D}{2}, \quad z_u = z_s - \frac{z_D}{2}$$



1.2 Linearisierung

- Für die Randbedingungen folgt:

$$w_{oz} = v_\infty \left(\frac{dz_S}{dx} - \alpha + \frac{1}{2} \frac{dz_D}{dx} \right), \quad w_{uz} = v_\infty \left(\frac{dz_S}{dx} - \alpha - \frac{1}{2} \frac{dz_D}{dx} \right), \quad 0 \leq x \leq c$$

- Das Störpotential lässt sich in zwei Bestandteile zerlegen:

$$\phi = \phi_D + \phi_S$$

- Randbedingungen für ϕ_D :

$$\left(\frac{\partial \phi_D}{\partial z} \right)_{o,u} = \pm \frac{1}{2} v_\infty \frac{dz_D}{dx}$$

- Randbedingung für ϕ_S :

$$\frac{\partial \phi_S}{\partial z} = v_\infty \left(\frac{dz_S}{dx} - \alpha \right)$$

1.2 Linearisierung

- Tropfentheorie:
 - Das Potential ϕ_D beschreibt die Strömung um ein symmetrisches Profil bei einer Anströmung entlang der x -Achse.
 - Da diese Strömung symmetrisch bezüglich der x -Achse ist, ist der Auftrieb null.
 - Die Berechnung dieses Potentials wird als Tropfentheorie bezeichnet.
 - Sie wird benötigt, wenn die Grenzschicht und der Widerstand des Profils bestimmt werden sollen.

1.2 Linearisierung

- Skelett-Theorie:
 - Das Potential ϕ_s beschreibt die Strömung um die Skelettlinie, wenn die Anströmgeschwindigkeit den Anstellwinkel α hat.
 - Die Berechnung dieses Potentials wird als Skelett-Theorie bezeichnet.
 - Die Skelett-Theorie liefert die in der Aeroelastik benötigten Größen Auftrieb und Moment.

1.3 Skelett-Theorie

- Aufgabenstellung:

- Gesucht ist die Lösung des folgenden Randwertproblems:

$$\text{Differenzialgleichung : } \frac{\partial^2 \phi_S}{\partial x^2} + \frac{\partial^2 \phi_S}{\partial z^2} = 0, \quad \mathbf{w} = \nabla \phi_S$$

$$\text{Randbedingung: } w_z(x) = v_\infty \left(\frac{dz_S}{dx} - \alpha \right), \quad 0 \leq x \leq c$$

$$\nabla \phi_S \rightarrow 0 \quad \text{für } x \rightarrow -\infty$$

Kutta-Bedingung: $\nabla \phi_S$ ist an der Hinterkante stetig und endlich.

1.3 Skelett-Theorie

- Aus der Lösung können Auftrieb und Moment berechnet werden.
- Ansatz:
 - Aus der Randbedingung folgt, dass die Geschwindigkeitskomponente w_z auf der Ober- und Unterseite der Skelettlinie gleich ist.
 - Damit die Strömung eine resultierende Kraft auf die Skelettlinie ausübt, muss der Druck auf der Ober- und der Unterseite verschieden sein.
 - Aus der linearisierten Bernoulli-Gleichung folgt daher, dass die Geschwindigkeitskomponente w_x auf der Ober- und Unterseite unterschiedlich sein muss.

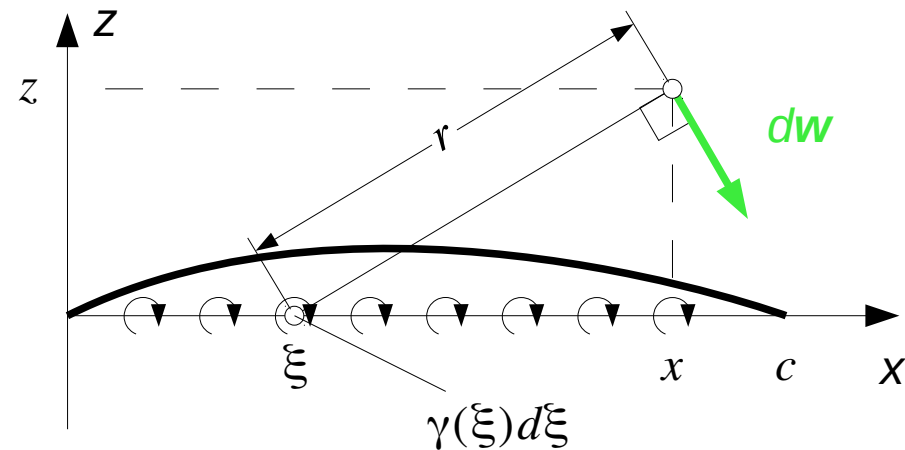
1.3 Skelett-Theorie

- Diese Überlegungen legen einen Lösungsansatz mithilfe einer Wirbelverteilung entlang der Profilschneide nahe.
- Für den Beitrag eines Wirbelelements zur Geschwindigkeit gilt:

$$dw_x = \frac{\gamma(\xi) d\xi}{2\pi r} \frac{z}{r}$$

$$dw_z = -\frac{\gamma(\xi) d\xi}{2\pi r} \frac{x-\xi}{r}$$

$$r = \sqrt{(x-\xi)^2 + z^2}$$



1.3 Skelett-Theorie

- Für die gesamte Geschwindigkeit folgt:

$$w_x(x, z) = \frac{1}{2\pi} \int_0^c \frac{\gamma(\xi) z d\xi}{(x-\xi)^2 + z^2}, \quad w_z(x, z) = -\frac{1}{2\pi} \int_0^c \frac{\gamma(\xi)(x-\xi) d\xi}{(x-\xi)^2 + z^2}$$

- Ermittlung der Wirbelverteilung:

- Die Randbedingung auf der Skelettlinie lautet:

$$w_z(x, 0) = -\frac{1}{2\pi} \int_0^c \frac{\gamma(\xi) d\xi}{x-\xi} = v_\infty \left(\frac{dz_s}{dx} - \alpha \right)$$

- Die Kutta-Bedingung verlangt: $\gamma(c) = 0$
- Es lässt sich zeigen, dass durch die Kutta-Bedingung die Lösung dieser Integralgleichung eindeutig festgelegt wird.

1.3 Skelett-Theorie

- Das Integral ist im Sinne des Cauchy-Hauptwerts zu verstehen:

$$\int_0^c \frac{\gamma(\xi) d\xi}{x-\xi} = \lim_{\epsilon \rightarrow 0} \left(\int_0^{x-\epsilon} \frac{\gamma(\xi) d\xi}{x-\xi} + \int_{x+\epsilon}^c \frac{\gamma(\xi) d\xi}{x-\xi} \right)$$

- Die Substitution $x = \frac{c}{2}(1 + \cos(\theta))$, $\xi = \frac{c}{2}(1 + \cos(\phi))$

$$d\xi = -\frac{c}{2} \sin(\phi) d\phi$$

führt auf:

$$\int_0^c \frac{\gamma(\xi) d\xi}{x-\xi} = -\int_{\pi}^0 \frac{\gamma(\phi) \sin(\phi) d\phi}{\cos(\theta) - \cos(\phi)} = -\int_0^{\pi} \frac{\gamma(\phi) \sin(\phi) d\phi}{\cos(\phi) - \cos(\theta)}$$

1.3 Skelett-Theorie

- Damit lautet die Integralgleichung:

$$\frac{1}{2\pi v_\infty} \int_0^\pi \frac{\gamma(\phi) \sin(\phi) d\phi}{\cos(\phi) - \cos(\theta)} = \frac{dz_s}{dx}(\theta) - \alpha$$

- Einsetzen des Lösungsansatzes (Glauert, 1929)

$$\gamma(\phi) = -2v_\infty \left(\left(\frac{G_0}{2} - \alpha \right) \tan\left(\frac{\phi}{2}\right) + \sum_{n=1}^{\infty} G_n \sin(n\phi) \right)$$

ergibt:

$$-\frac{1}{\pi} \left(\frac{G_0}{2} - \alpha \right) \int_0^\pi \frac{\tan(\phi/2) \sin(\phi) d\phi}{\cos(\phi) - \cos(\theta)} - \frac{1}{\pi} \sum_{n=1}^{\infty} G_n \int_0^\pi \frac{\sin(n\phi) \sin(\phi) d\phi}{\cos(\phi) - \cos(\theta)} = \frac{dz_s}{dx}(\theta) - \alpha$$

1.3 Skelett-Theorie

- Mit $\tan(\phi/2) \sin(\phi) = 1 - \cos(\phi)$

sowie (siehe z. B. Karamcheti, Anhang E, oder Moran, Anhang A)

$$\int_0^\pi \frac{\cos(n\phi) d\phi}{\cos(\phi) - \cos(\theta)} = \pi \frac{\sin(n\theta)}{\sin(\theta)}, \quad \int_0^\pi \frac{\sin(n\phi) \sin(\phi) d\phi}{\cos(\phi) - \cos(\theta)} = -\pi \cos(n\theta)$$

folgt:
$$\frac{G_0}{2} - \alpha + \sum_{n=1}^{\infty} G_n \cos(n\theta) = \frac{dz_s}{dx}(\theta) - \alpha$$

- Daraus folgt für die Koeffizienten der Wirbelbelegung:

$$G_n = \frac{2}{\pi} \int_0^\pi \frac{dz_s}{dx}(\theta) \cos(n\theta) d\theta, \quad n=0, 1, 2, \dots$$

1.3 Skelett-Theorie

- Die Birnbaum-Ackermannschen Normalverteilungen:
 - 1. Normalverteilung:

- Für die angestellte ebene Platte gilt:

$$\frac{dz_s}{dx} = 0 \rightarrow G_n = 0, \quad n = 0, 1, 2, \dots$$

- Damit gilt für die Wirbelbelegung: $\gamma_1(\theta) = 2 v_\infty \alpha \tan(\theta/2)$

- Mit $\cos(\theta) = 2x/c - 1$

$$\sin(\theta) = \sqrt{1 - (2x/c - 1)^2} = 2\sqrt{(x/c)(1 - x/c)}$$

$$\tan(\theta/2) = \frac{1 - \cos(\theta)}{\sin(\theta)} = \frac{2 - 2x/c}{2\sqrt{(x/c)(1 - x/c)}} = \sqrt{\frac{1 - x/c}{x/c}}$$

folgt: $\gamma_1(x) = 2 v_\infty \alpha \sqrt{\frac{1 - x/c}{x/c}}$

1.3 Skelett-Theorie

- 2. Normalverteilung:

- Nur G_1 ist von null verschieden:

$$\frac{dz_S}{dx}(\theta) = G_1 \cos(\theta) \rightarrow \frac{dz_S}{dx}(x) = G_1 \left(2 \frac{x}{c} - 1 \right)$$

$$z_S(x) = G_1 c \left(\frac{x^2}{c^2} - \frac{x}{c} \right) = G_1 c \frac{x}{c} \left(\frac{x}{c} - 1 \right)$$

- Die Skelettlinie ist eine quadratische Parabel.
- Der größte Wert tritt in der Mitte auf:

$$h = z_S\left(\frac{c}{2}\right) = -\frac{1}{4} G_1 c \rightarrow G_1 = -4 \frac{h}{c} \rightarrow z_S(x) = 4 h \frac{x}{c} \left(1 - \frac{x}{c} \right)$$

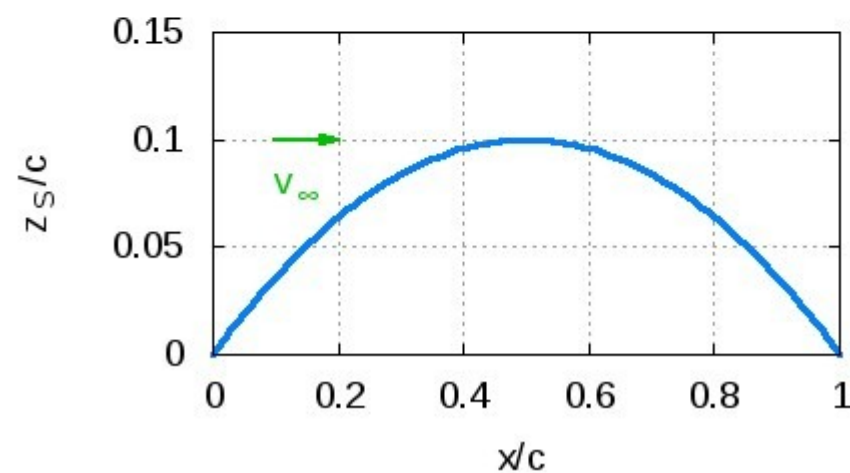
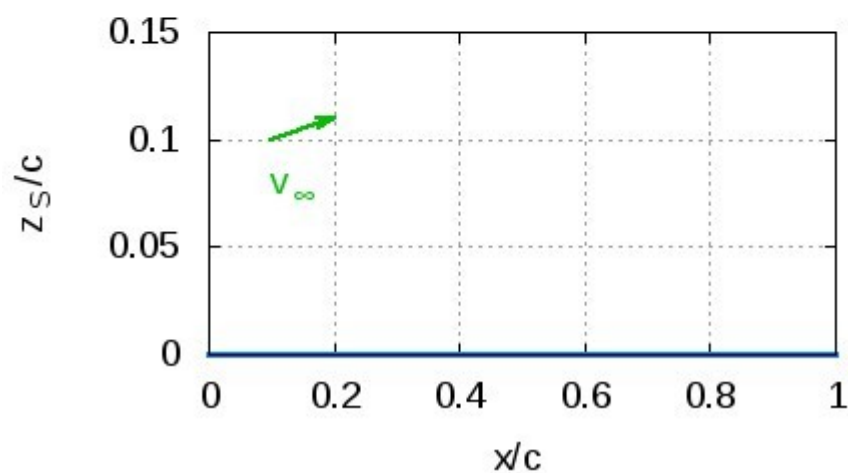
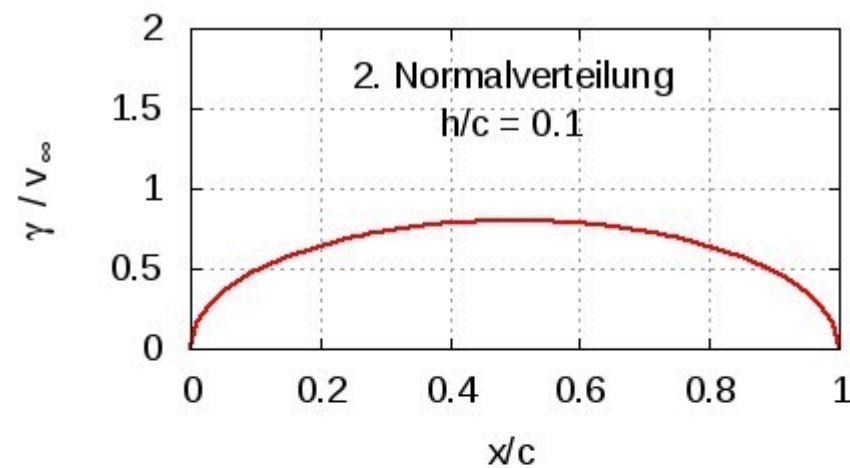
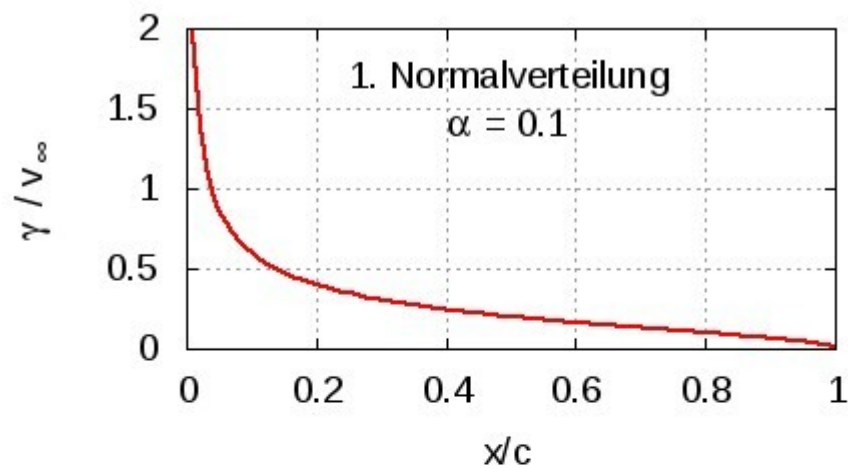
1.3 Skelett-Theorie

- Für die Wirbelverteilung gilt:

$$\gamma_2(\theta) = -2 v_\infty G_1 \sin(\theta) = 8 v_\infty \frac{h}{c} \sin(\theta)$$

$$\gamma_2(x) = 16 v_\infty \frac{h}{c} \sqrt{\frac{x}{c} \left(1 - \frac{x}{c}\right)}$$

1.3 Skelett-Theorie



1.3 Skelett-Theorie

- Ermittlung der Druckverteilung:
 - Aus der linearisierten Bernoulli-Gleichung folgt für die Differenz der Druckbeiwerte auf der Ober- und Unterseite:

$$\Delta c_p = c_{pu} - c_{po} = -2 \frac{w_{ux} - w_{ox}}{v_\infty} = 2 \frac{w_{ox} - w_{ux}}{v_\infty}$$

- Die Geschwindigkeiten auf der Ober- und Unterseite ergeben sich als Grenzübergang von oben und unten an den Wert $z = 0$:

$$w_{ox}(x) = \lim_{z \downarrow 0} \frac{1}{2\pi} \int_0^c \frac{\gamma(\xi) z d\xi}{(x-\xi)^2 + z^2}, \quad w_{ux}(x) = \lim_{z \uparrow 0} \frac{1}{2\pi} \int_0^c \frac{\gamma(\xi) z d\xi}{(x-\xi)^2 + z^2}$$

1.3 Skelett-Theorie

- Zur Berechnung wird das Integrationsintervall in drei Bereiche unterteilt:

$$\int_0^c \frac{\gamma(\xi) z d\xi}{(x-\xi)^2 + z^2} = \int_0^{x-\varepsilon} \frac{\gamma(\xi) z d\xi}{(x-\xi)^2 + z^2} + \int_{x-\varepsilon}^{x+\varepsilon} \frac{\gamma(\xi) z d\xi}{(x-\xi)^2 + z^2} + \int_{x+\varepsilon}^c \frac{\gamma(\xi) z d\xi}{(x-\xi)^2 + z^2}$$

- Der Integrand des ersten und des dritten Integrals ist im gesamten Integrationsintervall stetig und nimmt für $z = 0$ den Wert null an. Diese beiden Integrale haben daher für $z = 0$ den Wert null.
- Für das zweite Integral gilt zunächst:

$$\int_{x-\varepsilon}^{x+\varepsilon} \frac{\gamma(\xi) z d\xi}{(x-\xi)^2 + z^2} = \gamma(x) \int_{x-\varepsilon}^{x+\varepsilon} \frac{z d\xi}{(x-\xi)^2 + z^2} + \int_{x-\varepsilon}^{x+\varepsilon} \frac{(\gamma(\xi) - \gamma(x)) z d\xi}{(x-\xi)^2 + z^2}$$

1.3 Skelett-Theorie

- Mit der Substitution $u = x - \xi$, $du = -d\xi$ lässt sich das erste Integral berechnen:

$$\int_{x-\varepsilon}^{x+\varepsilon} \frac{z d\xi}{(x-\xi)^2 + z^2} = z \int_{-\varepsilon}^{\varepsilon} \frac{du}{u^2 + z^2} = z \left[\frac{1}{z} \arctan\left(\frac{u}{z}\right) \right]_{u=-\varepsilon}^{u=\varepsilon} = 2 \arctan\left(\frac{\varepsilon}{z}\right)$$

- Für die Grenzwerte gilt:

$$\lim_{z \downarrow 0} \int_{x-\varepsilon}^{x+\varepsilon} \frac{z d\xi}{(x-\xi)^2 + z^2} = 2 \lim_{z \downarrow 0} \arctan\left(\frac{\varepsilon}{z}\right) = \pi, \quad \lim_{z \uparrow 0} \int_{x-\varepsilon}^{x+\varepsilon} \frac{z d\xi}{(x-\xi)^2 + z^2} = -\pi$$

- Da $\gamma(x)$ differenzierbar ist, gibt es eine positive Konstante C , so dass gilt:

$$|\gamma(\xi) - \gamma(x)| \leq C |\xi - x| \leq C \varepsilon$$

1.3 Skelett-Theorie

- Damit folgt:

$$\left| \int_{x-\varepsilon}^{x+\varepsilon} \frac{(\gamma(\xi) - \gamma(x))z d\xi}{(x-\xi)^2 + z^2} \right| \leq \int_{x-\varepsilon}^{x+\varepsilon} \frac{|\gamma(\xi) - \gamma(x)||z| d\xi}{(x-\xi)^2 + z^2}$$

$$\leq C \varepsilon \int_{x-\varepsilon}^{x+\varepsilon} \frac{|z| d\xi}{(x-\xi)^2 + z^2}$$

- Für den Grenzwert gilt:

$$\lim_{z \rightarrow 0} \left| \int_{x-\varepsilon}^{x+\varepsilon} \frac{(\gamma(\xi) - \gamma(x))z d\xi}{(x-\xi)^2 + z^2} \right| \leq C \varepsilon \pi$$

- Für ε gegen null geht dieser Grenzwert gegen null.

1.3 Skelett-Theorie

- Damit ist gezeigt:

$$w_{ox}(x) = \lim_{z \downarrow 0} w_x(x, z) = \frac{1}{2} \gamma(x), \quad w_{ux}(x) = \lim_{z \uparrow 0} w_x(x, z) = -\frac{1}{2} \gamma(x)$$

$$w_{ox}(x) - w_{ux}(x) = \gamma(x)$$

- Für die Differenz der Druckbeiwerte folgt:

$$\Delta c_P(x) = 2 \frac{\gamma(x)}{v_\infty}$$

- Die Druckverteilung ist proportional zur Wirbelverteilung.

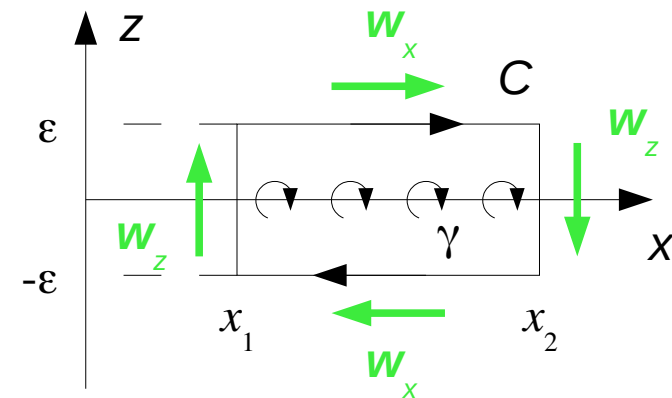
1.3 Skelett-Theorie

- Alternative Ermittlung der Druckverteilung:

- Aus

$$w_x(x, z) = \frac{1}{2\pi} \int_0^c \frac{\gamma(\xi) z d\xi}{(x-\xi)^2 + z^2}$$

folgt: $w_x(x, -z) = -w_x(x, z)$



- Für die Zirkulation über den rechteckigen Weg C gilt:

$$\Gamma = \oint_C \mathbf{w} \cdot d\mathbf{s} = \int_{x_1}^{x_2} \gamma(x) dx$$

1.3 Skelett-Theorie

- Das Wegintegral berechnet sich zu

$$\begin{aligned}
 \oint_C \mathbf{w} \cdot d\mathbf{s} &= \int_{x_1}^{x_2} w_x(x, \varepsilon) dx + \int_{\varepsilon}^{-\varepsilon} w_z(x_2, z) dz \\
 &\quad + \int_{x_2}^{x_1} w_x(x, -\varepsilon) dx + \int_{-\varepsilon}^{\varepsilon} w_z(x_1, z) dz \\
 &= 2 \int_{x_1}^{x_2} w_x(x, \varepsilon) dx + \int_{-\varepsilon}^{\varepsilon} (w_z(x_1, z) - w_z(x_2, z)) dz
 \end{aligned}$$

- Da w_z bei $z = 0$ stetig ist, gilt für den Grenzwert:

$$\lim_{\varepsilon \rightarrow 0} \oint_C \mathbf{w} \cdot d\mathbf{s} = 2 \int_{x_1}^{x_2} w_{ox}(x) dx = \int_{x_1}^{x_2} \gamma(x) dx$$

1.3 Skelett-Theorie

- Daraus folgt

$$\int_{x_1}^{x_2} (2w_{ox}(x) - \gamma(x)) dx = 0$$

unabhängig von den Integralgrenzen x_1 und x_2 .

- Also gilt:

$$w_{ox}(x) = \frac{1}{2} \gamma(x), \quad w_{ux}(x) = -w_{ox}(x) = -\frac{1}{2} \gamma(x)$$

$$\rightarrow \Delta c_p(x) = 2 \frac{\gamma(x)}{v_\infty}$$

1.3 Skelett-Theorie

- Auftrieb und Moment:

- Für den Auftrieb eines Streifens der Länge Δy gilt:

$$L = q_\infty \Delta y \int_0^c \Delta c_p(x) dx$$

$$= \rho v_\infty \Delta y \int_0^c \gamma(x) dx$$

- Mit funktionentheoretischen Methoden lässt sich der Satz von Kutta-Joukowski auch ohne Linearisierung der Gleichungen herleiten.

- Mit der Zirkulation

$$\Gamma = \int_0^c \gamma(x) dx$$

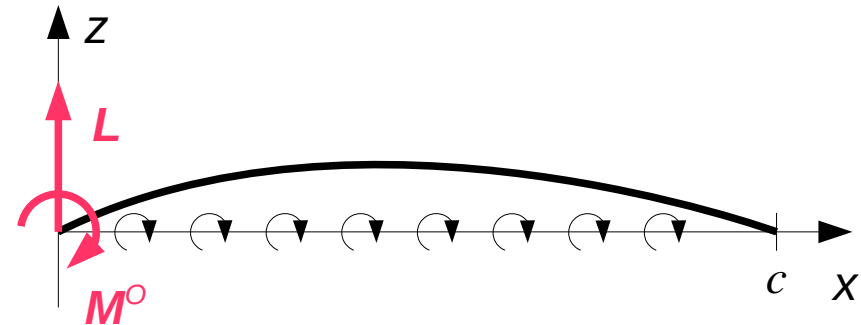
folgt der *Satz von Kutta-Joukowski*:

$$L = \rho v_\infty \Delta y \Gamma$$

1.3 Skelett-Theorie

- Für den Auftriebsbeiwert folgt:

$$c_L = \frac{L}{q_\infty \Delta y c} = \frac{2\Gamma}{v_\infty c}$$



- Das Moment um die Flügelvorderkante berechnet sich zu

$$M^o = -q_\infty \Delta y \int_0^c x \Delta c_P(x) dx = -\rho v_\infty \Delta y \int_0^c x \gamma(x) dx$$

- Für den Momentenbeiwert folgt:

$$c_{M^o} = \frac{M^o}{q_\infty \Delta y c^2} = -\frac{2}{v_\infty c^2} \int_0^c x \gamma(x) dx$$

1.3 Skelett-Theorie

- Berechnung der Beiwerte:

- Mit $x = \frac{c}{2}(1 + \cos(\theta))$, $dx = -\frac{c}{2}\sin(\theta)d\theta$ folgt:

$$c_L = \frac{1}{v_\infty} \int_0^\pi \gamma(\theta) \sin(\theta) d\theta, \quad c_{M^o} = -\frac{1}{2v_\infty} \int_0^\pi (1 + \cos(\theta)) \gamma(\theta) \sin(\theta) d\theta$$

- Mit der Wirbelverteilung

$$\gamma(\theta) = -2v_\infty \left(\left(\frac{G_0}{2} - \alpha \right) \frac{1 - \cos(\theta)}{\sin(\theta)} + \sum_{n=1}^{\infty} G_n \sin(n\theta) \right)$$

folgt

$$\int_0^\pi \gamma(\theta) \sin(\theta) d\theta = -2v_\infty \left(\left(\frac{G_0}{2} - \alpha \right) \int_0^\pi d\theta + G_1 \int_0^\pi \sin^2(\theta) d\theta \right)$$

1.3 Skelett-Theorie

und

$$\int_0^{\pi} (1 + \cos(\theta)) \gamma(\theta) \sin(\theta) d\theta = -2 v_{\infty} \left(\frac{G_0}{2} - \alpha \right) \int_0^{\pi} (1 - \cos^2(\theta)) d\theta$$

$$- 2 v_{\infty} \left(G_1 \int_0^{\pi} \sin^2(\theta) d\theta + G_2 \int_0^{\pi} \sin(2\theta) \cos(\theta) \sin(\theta) d\theta \right)$$

- Die Integrale für alle übrigen Koeffizienten sind null.
- Die Integrale berechnen sich zu

$$\int_0^{\pi} d\theta = \pi, \quad \int_0^{\pi} \sin(2\theta) \cos(\theta) \sin(\theta) d\theta = \frac{1}{2} \int_0^{\pi} \sin^2(2\theta) d\theta = \frac{\pi}{4}$$

$$\int_0^{\pi} (1 - \cos^2(\theta)) d\theta = \int_0^{\pi} \sin^2(\theta) d\theta = \frac{\pi}{2}$$

1.3 Skelett-Theorie

- Damit gilt für die Beiwerte:

$$c_L = -2 \left(\left(\frac{G_0}{2} - \alpha \right) \pi + \frac{\pi}{2} G_1 \right) = 2 \pi \left(\alpha - \frac{1}{2} (G_0 + G_1) \right)$$

$$\begin{aligned} c_{M^o} &= \frac{\pi}{2} \left(\frac{G_0}{2} - \alpha \right) + \frac{\pi}{2} G_1 + \frac{\pi}{4} G_2 = \frac{\pi}{4} (G_0 + G_1) - \frac{\pi}{2} \alpha + \frac{\pi}{4} (G_1 + G_2) \\ &= -\frac{c_L}{4} + \frac{\pi}{4} (G_1 + G_2) \end{aligned}$$

- Mit dem *Nullauftriebswinkel* $\alpha_0 = \frac{1}{2} (G_0 + G_1)$

gilt für den Auftriebsbeiwert: $c_L = 2 \pi (\alpha - \alpha_0)$

1.3 Skelett-Theorie

- Wird das Moment bezüglich der Stelle $x = c/4$ berechnet, hängt der Momentenbeiwert nicht vom Auftriebsbeiwert ab:

$$c_{M_0} = \frac{\pi}{4} (G_1 + G_2)$$

- Dieser Beiwert wird als *Nullmomentenbeiwert* bezeichnet. Er beschreibt das Moment, das auftritt, wenn der Auftrieb null ist.
- Der *Neutralpunkt* des Profils, d. h. der Punkt, bezüglich dem

$$\frac{dc_M}{dc_L} = 0$$

gilt, liegt an der Stelle $x = c/4$.

1.3 Skelett-Theorie

- Zusammenfassung:

Auftriebsbeiwert: $c_L = 2\pi(\alpha - \alpha_0)$

Nullauftriebswinkel: $\alpha_0 = \frac{1}{2}(G_0 + G_1)$

Nullmomentenbeiwert: $c_{M_0} = \frac{\pi}{4}(G_1 + G_2)$

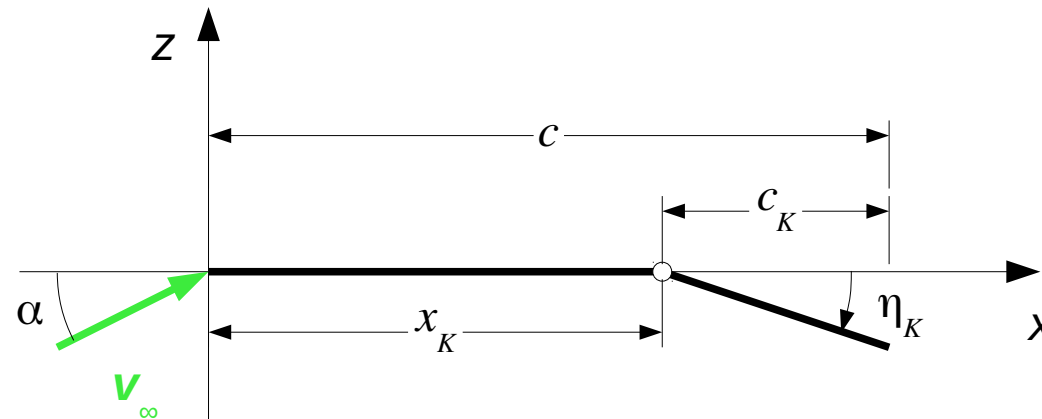
Koeffizienten: $G_n = \frac{2}{\pi} \int_0^\pi \frac{dz_s}{dx}(\theta) \cos(n\theta) d\theta$

Neutralpunkt liegt im Viertelpunkt: $x_N = c/4$

1.3 Skelett-Theorie

- Beispiel: Flügel mit Klappe
 - Betrachtet wird ein symmetrisches Profil mit einer ausgeschlagenen Klappe.
 - Die Skelettlinie ist eine geknickte Linie.
- Die Geometrie wird durch das *Klappentiefenverhältnis*

$$\kappa = c_K / c$$
 - und den Klappenwinkel η_K beschrieben.



1.3 Skelett-Theorie

- Für die Steigung der Skelettlinie gilt:

$$\frac{dz_s}{dx} = \begin{cases} -\eta_K, & 0 \leq \theta < \theta_K \\ 0, & \theta_K < \theta < \pi \end{cases}$$

- Dabei ist θ_K der der Klappenposition entsprechende Winkel.

- Aus $x_K = c - c_K = \frac{c}{2} (1 + \cos(\theta_K))$

folgt: $\cos(\theta_K) = 1 - 2\kappa$

$$\theta_K = \arccos(1 - 2\kappa)$$

$$\sin(\theta_K) = \sqrt{1 - \cos^2(\theta_K)} = 2\sqrt{\kappa(1 - \kappa)}$$

$$\sin(2\theta_K) = 2\sin(\theta_K)\cos(\theta_K) = 4(1 - 2\kappa)\sqrt{\kappa(1 - \kappa)}$$

1.3 Skelett-Theorie

- Die Fourier-Koeffizienten berechnen sich zu

$$G_0 = \frac{2}{\pi} \int_0^{\pi} \frac{dz_S}{dx} d\theta = -\frac{2}{\pi} \eta_K \int_0^{\theta_K} d\theta = -\frac{2}{\pi} \eta_K \theta_K$$

$$G_1 = \frac{2}{\pi} \int_0^{\pi} \frac{dz_S}{dx} \cos(\theta) d\theta = -\frac{2}{\pi} \eta_K \int_0^{\theta_K} \cos(\theta) d\theta = -\frac{2}{\pi} \eta_K \sin(\theta_K)$$

$$G_2 = \frac{2}{\pi} \int_0^{\pi} \frac{dz_S}{dx} \cos(2\theta) d\theta = -\frac{2}{\pi} \eta_K \int_0^{\theta_K} \cos(2\theta) d\theta = -\frac{1}{\pi} \eta_K \sin(2\theta_K)$$

$$\rightarrow \begin{cases} G_0 + G_1 = -\frac{2}{\pi} (\theta_K + \sin(\theta_K)) \eta_K \\ G_1 + G_2 = -\frac{1}{\pi} (2 \sin(\theta_K) + \sin(2\theta_K)) \eta_K \end{cases}$$

1.3 Skelett-Theorie

- Für die Beiwerte folgt:

$$\begin{aligned}
 c_L &= 2\pi \left(\alpha - \frac{G_0 + G_1}{2} \right) = 2\pi \alpha + 2 \left(\theta_K + \sin(\theta_K) \right) \eta_K \\
 &= 2\pi \alpha + 2 \left(\arccos(1 - 2\kappa) + 2\sqrt{\kappa(1 - \kappa)} \right) \eta_K
 \end{aligned}$$

$$\begin{aligned}
 c_{M_0} &= \frac{\pi}{4} (G_1 + G_2) = -\frac{1}{4} \left(2\sin(\theta_K) + \sin(2\theta_K) \right) \eta_K \\
 &= -2\sqrt{\kappa(1 - \kappa)}(1 - \kappa) \eta_K
 \end{aligned}$$

1.4 Methode der diskreten Wirbel

- Die Methode der diskreten Wirbel ist eine numerische Methode zur Berechnung dünner Profile.
- Sie bildet die Grundlage der Wirbelgitterverfahren zur Berechnung von Tragflügeln endlicher Länge.
- Die Methode der diskreten Wirbel basiert auf dem Dreiviertelpunkt-Theorem von Pistoletti.

1.4 Methode der diskreten Wirbel

- Dreiviertelpunkt-Theorem von Pistoletti:
 - Betrachtet wird eine parabelförmige Skelettlinie

$$z_S(x) = 4h \frac{x}{c} \left(1 - \frac{x}{c} \right)$$

(2. Normalverteilung), die unter dem Anstellwinkel α angeströmt wird.

- Mit $G_0 = 0$, $G_1 = -4 \frac{h}{c}$

folgt: $\alpha_0 = -2 \frac{h}{c}$, $c_L = 2\pi \left(\alpha + 2 \frac{h}{c} \right)$

1.4 Methode der diskreten Wirbel

- Aus $c_L = \frac{2\Gamma}{v_\infty c}$

folgt für die Zirkulation: $\Gamma = \frac{1}{2} c_L v_\infty c = \pi v_\infty c \left(\alpha + 2 \frac{h}{c} \right)$

- Ein Wirbel dieser Stärke erzeugt den gleichen Auftrieb wie das gegebene Profil.
- Zu bestimmen ist die Position x_Γ , an der sich der Wirbel befinden muss, sowie die Position x_C des Kontrollpunktes, an dem die Randbedingung erfüllt ist.

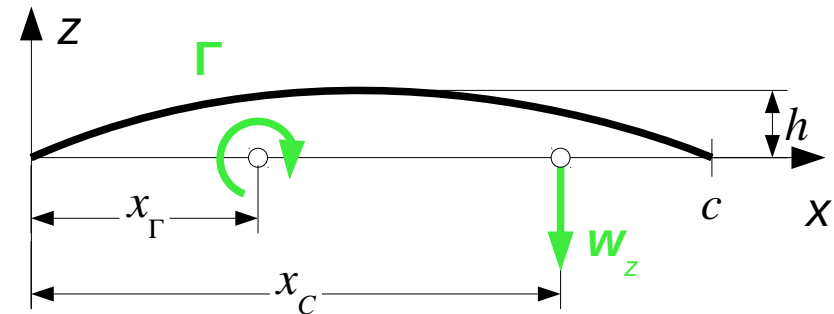
1.4 Methode der diskreten Wirbel

- Aus der Randbedingung

$$w_z(x_C) = v_\infty \left(\frac{dz_s}{dx}(x_C) - \alpha \right)$$

und $w_z(x_C) = \frac{-\Gamma}{2\pi(x_C - x_\Gamma)}$

folgt: $\frac{-v_\infty c (\alpha + 2h/c)}{2(x_C - x_\Gamma)} = v_\infty \left(4 \frac{h}{c} \left(1 - 2 \frac{x_C}{c} \right) - \alpha \right)$



- Diese Gleichung soll für beliebige Werte von α und h/c erfüllt sein.

1.4 Methode der diskreten Wirbel

- Dafür muss gelten:

$$\alpha \quad : \quad \frac{c}{2(x_C - x_\Gamma)} = 1 \quad \rightarrow \quad x_C - x_\Gamma = \frac{c}{2}$$

$$h/c \quad : \quad -\frac{c}{x_C - x_\Gamma} = 4 - 8\frac{x_C}{c} \quad \rightarrow \quad x_C - x_\Gamma = \frac{c}{4(2x_C/c - 1)}$$

$$\rightarrow \frac{1}{2} = \frac{1}{4(2x_C/c - 1)} \quad \rightarrow \quad 2\frac{x_C}{c} - 1 = \frac{1}{2} \quad \rightarrow \quad \frac{x_C}{c} = \frac{3}{4}$$

$$\rightarrow \frac{x_\Gamma}{c} = \frac{x_C}{c} - \frac{1}{2} = \frac{1}{4}$$

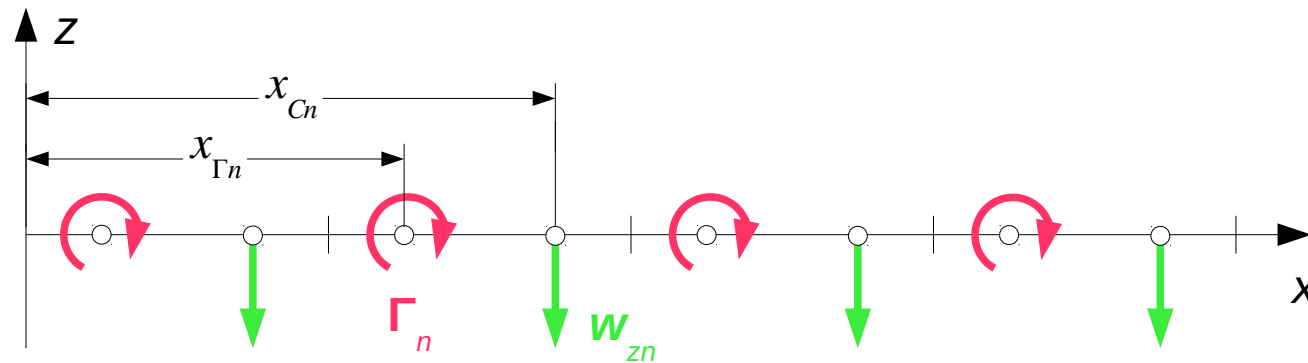
1.4 Methode der diskreten Wirbel

- Der Auftrieb lässt sich berechnen, indem die Zirkulation eines Wirbels, der sich im Viertelpunkt befindet, aus der Randbedingung im Dreiviertelpunkt ermittelt wird.
- Das Verfahren ist korrekt für Parabelskelette und stellt für Skelettlinien, die nur wenig von einer Parabel abweichen, eine brauchbare Näherung dar.
- Das Moment kann nicht ermittelt werden.

1.4 Methode der diskreten Wirbel

- Methode der diskreten Wirbel:
 - Die Wirbelverteilung wird durch diskrete Wirbel auf der Profilsehne approximiert.
 - Damit können Näherungen für den Auftrieb und das Moment von beliebigen Skelettlinien bestimmt werden.
 - Die Profilsehne wird in Intervalle unterteilt.
 - Die Wirbel befinden sich an den Viertelpunkten der Intervalle.
 - Die Randbedingung muss in den Dreiviertelpunkten der Intervalle erfüllt sein.

1.4 Methode der diskreten Wirbel



- Für die Vertikalkomponente der Geschwindigkeitsstörung gilt:

$$w_{zm} = w_z(x_{Cm}) = -\frac{1}{2\pi} \sum_{n=1}^N \frac{\Gamma_n}{x_{Cm} - x_{\Gamma n}} = v_\infty \left(\frac{dz_s}{dx}(x_{Cm}) - \alpha \right)$$

$m = 1, \dots, N$

1.4 Methode der diskreten Wirbel

- Damit stehen N lineare Gleichungen zur Bestimmung der N unbekanntenen Wirbelstärken Γ_n zur Verfügung.
- Auftriebsbeiwert und Momentenbeiwert bezüglich dem Neutralpunkt berechnen sich zu

$$c_L = \frac{2}{v_\infty c} \sum_{n=1}^N \Gamma_n, \quad c_{M_0} = \frac{2}{v_\infty c^2} \sum_{n=1}^N \left(\frac{c}{4} - x_{\Gamma n} \right) \Gamma_n$$

- Die Wirbelverteilung und der Druckbeiwert werden approximiert durch

$$\gamma(x_{\Gamma n}) \approx \frac{\Gamma_n}{x_{n+1} - x_n}, \quad \Delta c_P(x_{\Gamma n}) \approx \frac{2}{x_{n+1} - x_n} \frac{\Gamma_n}{v_\infty}$$

1.4 Methode der diskreten Wirbel

- Beispiel:

- Aufgabenstellung:

- Gegeben ist die Skelettlinie

$$z_s(x) = \delta c \left(2 \frac{x^3}{c^3} - 3 \frac{x^2}{c^2} + \frac{x}{c} \right) \text{ mit } \delta = 0,2.$$

- Zu berechnen sind die Druckverteilung $\Delta c_p(x)$ und die aerodynamischen Beiwerte für den Anstellwinkel $\alpha = \delta/4$.
- Anhand der analytischen Lösung soll der Einfluss der Diskretisierung untersucht werden.

1.4 Methode der diskreten Wirbel

- Ableitung der Skelettlinie:

$$\frac{dz_s}{dx}(x) = \delta \left(6 \frac{x^2}{c^2} - 6 \frac{x}{c} + 1 \right)$$

- Diskretisierung:

- Die Intervallgrenzen liegen bei

$$\frac{x_n}{c} = \frac{1}{2} \left(1 - \cos \left(\pi \frac{n-1}{N} \right) \right), \quad n = 1, \dots, N+1$$

- Damit wird erreicht, dass die Intervalle in der Nähe der Nase und der Hinterkante kleiner sind als in der Mitte des Profils.

1.4 Methode der diskreten Wirbel

- Analytische Lösung (vgl. Übungsblatt 4.1):

- Druckverteilung:
$$\Delta c_p(x) = -12 \delta \left(2 \frac{x}{c} - 1 \right) \sqrt{\frac{x}{c} \left(1 - \frac{x}{c} \right)}$$

- Beiwerte:
$$c_L = 0, \quad c_{M_0} = \frac{3}{16} \pi \delta$$

- GNU Octave-Skript:

- Die Funktion `mfs_vortex2d` von Mefisto führt die Berechnung durch.

1.4 Methode der diskreten Wirbel

```
# Beispiel: Profil mit S-Schlag
# -----

file = mfilename();
fid  = fopen([file, ".res"], "wt"); % Ausgabedatei

N    = [20, 50, 150, 250];

delta = 0.2;
alpha = 0.25 * delta * 180 / pi; % Anstellwinkel in Grad

# Skelettlinie

camber = mkpp([0, 1], delta * [2, -3, 1, 0]);

# Numerische Ergebnisse

for n = 1 : length(N)
    theta = linspace(0, pi, N(n) + 1);
    x     = 0.5 * (1 - cos(theta));
```

1.4 Methode der diskreten Wirbel

```
        [cp{n}, xg{n}, cL(n), cM(n)] = ...
            mfs_vortex2d(x, camber, alpha);
    end

# Analytische Ergebnisse

CL = 0;
CM = 3 * pi * delta / 16;
CP = - 12 * delta * (2 * x - 1) .* sqrt(x .* (1 - x));

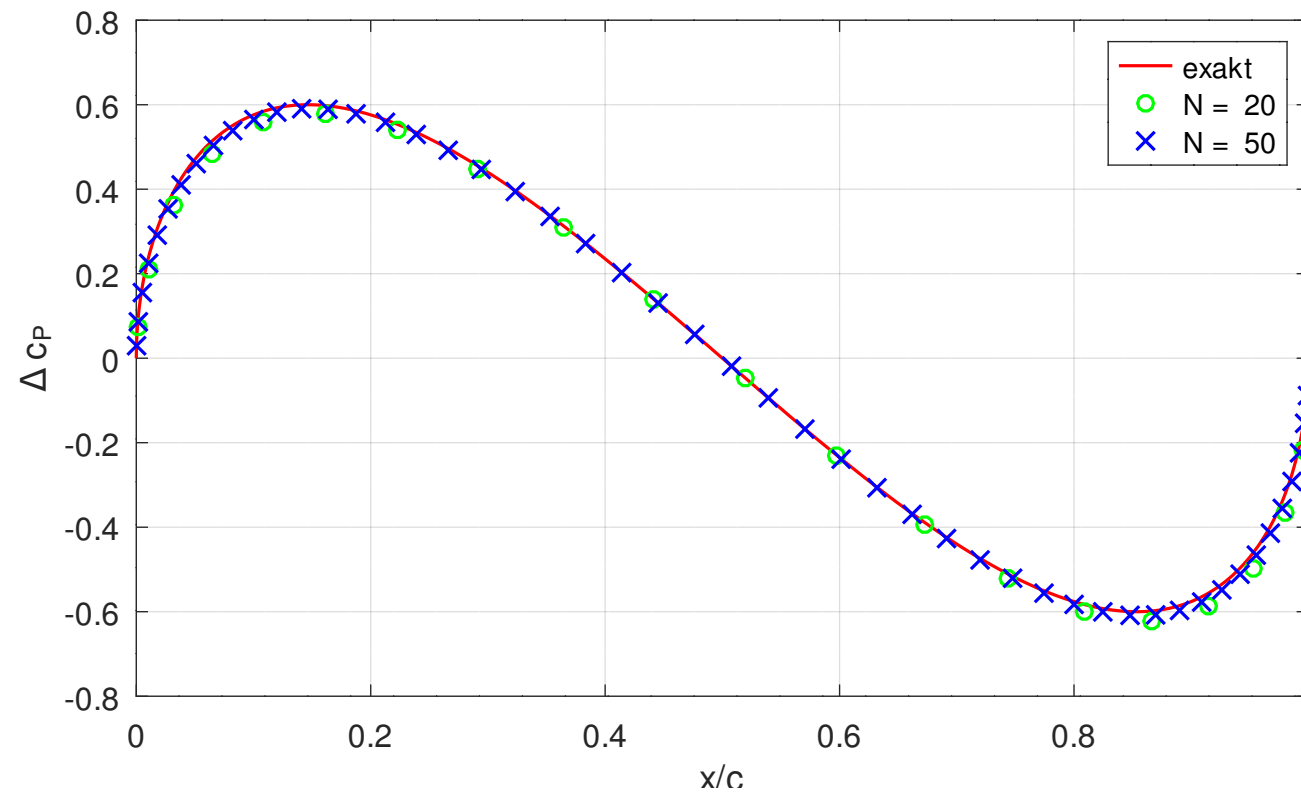
# Ausgabe

...

fclose(fid);
```

1.4 Methode der diskreten Wirbel

- Ergebnisse:
 - Druckverteilung:



1.4 Methode der diskreten Wirbel

- Aerodynamische Beiwerte:

N :	20	50	150	250	exakt
c _L :	0.00193	0.00031	0.00003	0.00001	0.00000
c _M :	0.11733	0.11773	0.11780	0.11781	0.11781

- Bereits mit 20 Intervallen ergibt sich eine brauchbare Näherung.